



UNIVERSIDAD DE LA REPÚBLICA
FACULTAD DE INGENIERÍA



Implementación de un transmisor de ISDB-T abierto bajo el paradigma de Radio Definida por Software

MEMORIA DE PROYECTO PRESENTADA A LA FACULTAD DE
INGENIERÍA DE LA UNIVERSIDAD DE LA REPÚBLICA POR

Javier Hernández, Santiago Castro

EN CUMPLIMIENTO PARCIAL DE LOS REQUERIMIENTOS
PARA LA OBTENCIÓN DEL TÍTULO DE
INGENIERO ELECTRICISTA.

TUTOR

Dr. Federico La Rocca Universidad de la República
M.Sc. Pablo Flores Guridi Universidad de la República

TRIBUNAL

Dr. Alicia Fernández Universidad de la República
Dr. Víctor González-Barbone Universidad de la República
Dr. Rafael Sotelo Universidad de la República

Montevideo
sábado 29 septiembre, 2018

*Implementación de un transmisor de ISDB-T abierto bajo el paradigma de Radio
Definida por Software*, Javier Hernández, Santiago Castro.

Esta tesis fue preparada en L^AT_EX usando la clase iietesis (v1.1).
Contiene un total de 53 páginas.
Compilada el sábado 29 septiembre, 2018.
<http://iie.fing.edu.uy/>

Sean los orientales tan ilustrados como valientes.

JOSÉ GERVASIO ARTIGAS

Esta página ha sido intencionalmente dejada en blanco.

Agradecimientos

Lorem ipsum dolor sit amet, consectetur adipiscing elit. Curabitur non neque tempor nunc fringilla tincidunt a a tortor. Phasellus leo turpis, commodo aliquam vehicula a, auctor in magna. Nulla non venenatis neque. Sed sit amet turpis metus, vel accumsan ligula. Suspendisse malesuada lacus sed tellus mollis a posuere mi porttitor. Nunc venenatis ante sit amet metus euismod iaculis. Phasellus accumsan lacinia eros, nec tempor lacus malesuada a. Suspendisse leo justo, pulvinar vitae molestie sit amet, ullamcorper ut mauris. Proin sed est ipsum.

Nulla leo ligula, porttitor eu dapibus non, porta sit amet enim. Ut eros nibh, fringilla ultrices rhoncus ut, luctus ut nibh. Nam id urna ac ligula fermentum rutrum. Sed eu cursus lacus. Donec pretium fermentum augue, eu interdum ipsum faucibus a. Praesent feugiat elit ligula. Sed ac augue luctus ligula aliquet scelerisque commodo nec justo. Class aptent taciti sociosqu ad litora torquent per conubia nostra, per inceptos himenaeos. Class aptent taciti sociosqu ad litora torquent per conubia nostra, per inceptos himenaeos. Vivamus eget sem ac sapien elementum suscipit. Ut odio tellus, accumsan sit amet condimentum vehicula, vestibulum quis dui. Quisque posuere semper massa quis cursus. Aliquam gravida tellus eget lorem congue dapibus. Duis id quam eu arcu porta commodo vel at nunc. Nulla in venenatis lorem. Donec congue vehicula bibendum.

Vestibulum pulvinar lorem a velit bibendum porttitor sagittis nisl tempus. Cum sociis natoque penatibus et magnis dis parturient montes, nascetur ridiculus mus. Fusce ut mi sit amet metus ultrices feugiat ut nec lorem. Nunc felis lorem, consectetur ut eleifend et, vestibulum id purus. Praesent nec augue quis neque sodales commodo nec ac urna. Sed a nibh ac odio sodales pulvinar. Pellentesque ut odio orci. Nam dictum hendrerit felis at ullamcorper. Integer eget sapien libero, in congue tortor. Nullam blandit vestibulum aliquet. Nullam vulputate sapien quis nisl molestie vulputate. Aliquam elementum eros quis ante ultrices ultricies. Cum sociis natoque penatibus et magnis dis parturient montes, nascetur ridiculus mus. Donec porttitor sodales aliquam. Ut sit amet risus justo. Integer eu iaculis orci.

Sed lectus tellus, porttitor in viverra sed, viverra nec nunc. Vestibulum ante ipsum primis in faucibus orci luctus et ultrices posuere cubilia Curae; Fusce gravida eleifend nisi, sit amet pulvinar ligula gravida id. Vivamus est massa, viverra sit amet ornare non, consectetur sit amet elit. Nam sapien lectus, pharetra sit amet imperdiet ultrices, iaculis eget enim. Curabitur in felis et lectus malesuada pellentesque vestibulum ac dolor. Vivamus quis nulla tortor. Sed adipiscing fringilla leo, sit amet sodales felis volutpat id. Proin vitae arcu libero. Suspendisse sit amet est tellus. Aliquam sit amet metus ut arcu placerat feugiat. Nulla eget magna id odio

facilisis blandit. Nam porta ultricies est, sed bibendum mauris volutpat ac. Lorem ipsum dolor sit amet, consectetur adipiscing elit. Maecenas vel lorem lorem. Donec et purus a tellus lacinia fringilla a non lectus.

Sed pretium porttitor fermentum. Vivamus semper lobortis dictum. In interdum, libero id iaculis laoreet, sapien diam tristique lorem, sit amet aliquam sapien sem ac tortor. Phasellus tincidunt tempor condimentum. Aenean luctus, erat non fermentum rhoncus, quam odio gravida massa, sed scelerisque tellus elit ut massa. Suspendisse vel posuere ipsum. Vestibulum dolor leo, ornare quis faucibus non, consequat ut purus. Maecenas at massa turpis, vitae pretium metus. Mauris mollis dolor turpis, semper dignissim tellus. Sed vel ligula eu turpis accumsan vehicula id in nisl. Pellentesque sit amet mi lorem. Suspendisse potenti. Proin bibendum luctus accumsan. Mauris urna elit, lacinia sit amet adipiscing feugiat, vestibulum sed mauris.

A Fulano y Mengano.

Esta página ha sido intencionalmente dejada en blanco.

Resumen

Lorem ipsum dolor sit amet, consectetur adipiscing elit. Curabitur non neque tempor nunc fringilla tincidunt a a tortor. Phasellus leo turpis, commodo aliquam vehicula a, auctor in magna. Nulla non venenatis neque. Sed sit amet turpis metus, vel accumsan ligula. Suspendisse malesuada lacus sed tellus mollis a posuere mi porttitor. Nunc venenatis ante sit amet metus euismod iaculis. Phasellus accumsan lacinia eros, nec tempor lacus malesuada a. Suspendisse leo justo, pulvinar vitae molestie sit amet, ullamcorper ut mauris. Proin sed est ipsum.

Nulla leo ligula, porttitor eu dapibus non, porta sit amet enim. Ut eros nibh, fringilla ultrices rhoncus ut, luctus ut nibh. Nam id urna ac ligula fermentum rutrum. Sed eu cursus lacus. Donec pretium fermentum augue, eu interdum ipsum faucibus a. Praesent feugiat elit ligula. Sed ac augue luctus ligula aliquet scelerisque commodo nec justo. Class aptent taciti sociosqu ad litora torquent per conubia nostra, per inceptos himenaeos. Class aptent taciti sociosqu ad litora torquent per conubia nostra, per inceptos himenaeos. Vivamus eget sem ac sapien elementum suscipit. Ut odio tellus, accumsan sit amet condimentum vehicula, vestibulum quis dui. Quisque posuere semper massa quis cursus. Aliquam gravida tellus eget lorem congue dapibus. Duis id quam eu arcu porta commodo vel at nunc. Nulla in venenatis lorem. Donec congue vehicula bibendum.

Vestibulum pulvinar lorem a velit bibendum porttitor sagittis nisl tempus. Cum sociis natoque penatibus et magnis dis parturient montes, nascetur ridiculus mus. Fusce ut mi sit amet metus ultrices feugiat ut nec lorem. Nunc felis lorem, consectetur ut eleifend et, vestibulum id purus. Praesent nec augue quis neque sodales commodo nec ac urna. Sed a nibh ac odio sodales pulvinar. Pellentesque ut odio orci. Nam dictum hendrerit felis at ullamcorper. Integer eget sapien libero, in congue tortor. Nullam blandit vestibulum aliquet. Nullam vulputate sapien quis nisl molestie vulputate. Aliquam elementum eros quis ante ultrices ultricies. Cum sociis natoque penatibus et magnis dis parturient montes, nascetur ridiculus mus. Donec porttitor sodales aliquam. Ut sit amet risus justo. Integer eu iaculis orci.

Sed lectus tellus, porttitor in viverra sed, viverra nec nunc. Vestibulum ante ipsum primis in faucibus orci luctus et ultrices posuere cubilia Curae; Fusce gravida eleifend nisi, sit amet pulvinar ligula gravida id. Vivamus est massa, viverra sit amet ornare non, consectetur sit amet elit. Nam sapien lectus, pharetra sit amet imperdiet ultrices, iaculis eget enim. Curabitur in felis et lectus malesuada pellentesque vestibulum ac dolor. Vivamus quis nulla tortor. Sed adipiscing fringilla leo, sit amet sodales felis volutpat id. Proin vitae arcu libero. Suspendisse sit amet est tellus. Aliquam sit amet metus ut arcu placerat feugiat. Nulla eget magna id odio

facilisis blandit. Nam porta ultricies est, sed bibendum mauris volutpat ac. Lorem ipsum dolor sit amet, consectetur adipiscing elit. Maecenas vel lorem lorem. Donec et purus a tellus lacinia fringilla a non lectus.

Sed pretium porttitor fermentum. Vivamus semper lobortis dictum. In interdum, libero id iaculis laoreet, sapien diam tristique lorem, sit amet aliquam sapien sem ac tortor. Phasellus tincidunt tempor condimentum. Aenean luctus, erat non fermentum rhoncus, quam odio gravida massa, sed scelerisque tellus elit ut massa. Suspendisse vel posuere ipsum. Vestibulum dolor leo, ornare quis faucibus non, consequat ut purus. Maecenas at massa turpis, vitae pretium metus. Mauris mollis dolor turpis, semper dignissim tellus. Sed vel ligula eu turpis accumsan vehicula id in nisl. Pellentesque sit amet mi lorem. Suspendisse potenti. Proin bibendum luctus accumsan. Mauris urna elit, lacinia sit amet adipiscing feugiat, vestibulum sed mauris.

Prefacio

Algo que decir antes de empezar con el contenido?

El autor

Esta página ha sido intencionalmente dejada en blanco.

Tabla de contenidos

Agradecimientos	III
Resumen	VII
Prefacio	IX
1. Introducción	1
2. Fundamento Teórico	5
2.1. Modelado del canal	6
2.1.1. Canales Continuos	6
2.1.2. Canales Discretos	6
2.1.3. Las no idealidades del Canal	6
2.2. Estrategias para mitigar los efectos del canal	6
2.2.1. Códigos de detección y corrección de errores	6
2.2.2. Códigos Cíclicos	7
2.3. Modulación OFDM	9
2.4. MPEG y sus Estandares	10
2.4.1. MPEG 2 Transport Stream	10
2.4.2. Tablas PMT	11
2.4.3. Tablas PAT	11
2.4.4. Paquetes Nulos	12
3. El Sistema de Televisión Digital Terrestre ISDB-T	13
3.1. BTS como fuente de datos	14
3.2. Robustecimiento frente a las no idealidades del canal	16
3.3. Formacion de los cuadros OFDM	17
3.4. Las portadoras y la modulacion	17
4. Radio definida por Software	19
4.1. GNU Radio	19
4.1.1. Flowgraphs	20
4.1.2. Bloques	20
4.2. Hardware	21
4.2.1. USRP B100	22
4.3. gr-isdbt	23

Tabla de contenidos

5. Un transmisor ISDBT implementado en GNU Radio	25
5.1. Generalidades del Transmisor	25
5.2. El flujo de datos en GNU Radio	25
5.3. Obtencion de los TSP por capa	25
5.4. Codificaciones de Canal	25
5.5. La modulacion	25
5.6. El uso de los entrelazamientos	25
5.7. Formacion de cuadros OFDM	25
5.7.1. Las portadoras piloto	25
5.7.2. Las portadoras activas	25
5.8. El prefijo ciclico	25
5.9. La transmision desde USRP	25
6. Evaluacion del sistema	27
6.1. Pruebas sobre gr-isdbt	27
6.2. Pruebas sobre televisores comerciales	27
7. Conclusiones y trabajo a futuro	29
A. Algo que agregar	31
Referencias	33
Índice de tablas	34
Índice de figuras	36

Capítulo 1

Introducción

En Mayo de 2001, la ARIB (Association of Radio Industries and Businesses) [1] presentó la primera versión de su standard para la transmisión de televisión digital. Coloquialmente denominada "Norma Japonesa de Televisión Digital", académicamente ISDB-T, por sus siglas en inglés provenientes de *Integrated Services Digital Broadcasting, Terrestrial*, la norma sintetiza un conjunto de requerimientos técnicos para la utilización eficiente del espectro radioeléctrico para la transmisión de datos multimedia, con la colaboración y el aval de todos los actores de la industria.

Esta norma basa muchos de sus conceptos en la norma DVB-T, publicada por primera vez en el año 1997 por la organización europea DVB (Digital Video Broadcasting). La posterioridad de ISDB-T con respecto a esta, permitió que se robustecieran algunos de los aspectos mas criticados de la norma europea, resultando en un standard mas robusto para la transmisión.

Actualmente, existen en el mundo cuatro grandes estándares comerciales. Además de ISDB-T y DVB-T, están la norma china DTMB (Digital Terrestrial Multimedia Broadcast) y la norma norteamericana de la ATSC (Advanced Television Systems Comitee). La elección de que norma adoptar por parte de los gobiernos nacionales, radica exclusivamente en decisiones políticas, que escapan a los objetivos de este documento.

En Uruguay, al igual que en gran parte de Latinoamérica, se adopto en 2011 una versión de ISDB-T denominada ISDB-T International, la cual es a grandes rasgos idéntica a la primera, salvo por algunos cambios menores como el cambio en la codificación de fuente (pasa del standard MPEG-2 a MPEG-4) y la elección de otro standard de interactividad (se cambia de BML a Ginga)

Luego de la adopción del standard, se fijo para el año 2015 como fecha limite para el denominado "apagón analógico", fecha en la cual se dejaría de transmitir televisión por vías analógicas, pasando exclusivamente a medios digitales, liberando los espectros asignados para los canales de TV abierta para otros fines.

Durante la implementación del marco legal de la nueva norma de televisión digital, se entregaron 22 licencias para transmisión de contenidos bajo la norma ISDB-T International (En mas, ISDB-T por simplicidad). Al día de hoy, tres años después de la fecha limite para el apagón, solo algunos de los actores del rubro están

Capítulo 1. Introducción

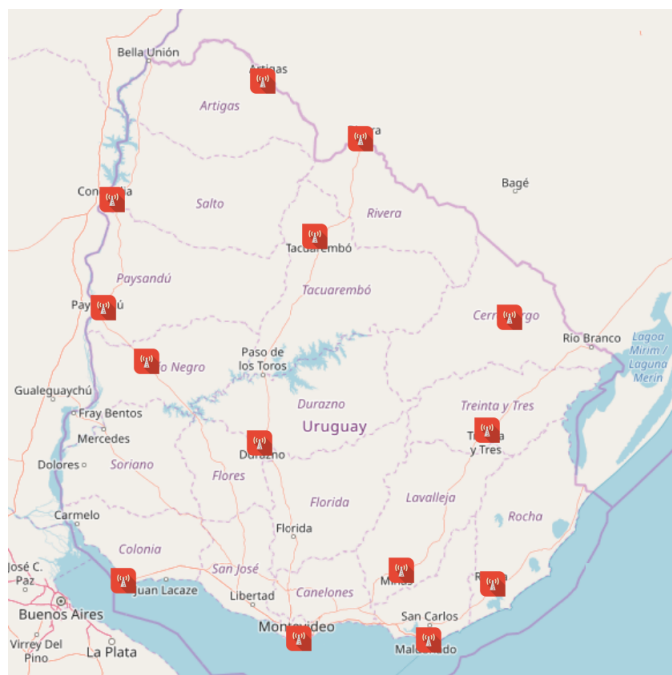


Figura 1.1: Distribución de las estaciones transmisoras de TV digital en el Uruguay.

brindando el servicio de forma adecuada y llama la atención la baja participación del sector comercial en la transformación analógico-digital.

Relevamos las situación de las estaciones de transmisión de televisión digital a lo largo del país, y hemos encontrado que la cobertura abarca solo una parcialidad del territorio nacional, existiendo incluso departamentos del interior del país que aun no tienen cobertura en su totalidad.

La situación de los consumidores del servicio, también dista de la ideal, pues, la televisión analógica sigue siendo la mayor puerta de acceso al medio. La Encuesta Continua de Hogares del Instituto Nacional de Estadística [3], cuyos indicadores son una muestra representativa de la situación de todos los hogares del país, dió a conocer que en el año 2017 solamente el 47% de los hogares encuestados tienen recepción de TV digital abierta. Tanto es así, que el mencionado apagón analógico, fue pospuesto por tiempo indeterminado. El alto costo del recambio de equipamiento, y posturas sobre la democratización del acceso a la información para personas de bajos recursos, fundamentan estas decisiones.

Es en ese contexto nacional que la Facultad de Ingeniería, quien luego de la adopción legal de la norma se puso como objetivo la apropiación tecnológica de la norma, nos encomendó el desarrollo de un transmisor de televisión digital, basado en SDR (Radio Definida por Software) y de código abierto.

Nuestro proyecto complementa el trabajo iniciado por Pablo Flores, María Simon y Federico Larroca, quienes en 2016 publicaron *gr-isdbt* [8], un receptor de televisión digital, también de código abierto y bajo el paradigma de SDR. Ambos trabajos en conjunto, permiten visualizar y ayudan a comprender el funcionamiento del sistema de transmisión digital de televisión de punta a punta, teniendo acceso

completo a todo lo que sucede dentro del mismo, en cualquier punto de la cadena de transmisión.

Además, genera la posibilidad de recrear una planta de transmisión de televisión a muy bajo costo, permitiendo su reproducción tanto en el hogar por entusiastas, en el aula por docentes o en la industria, por técnicos, lo cual puede colaborar con el mejoramiento de la calidad del servicio actual. A su vez, puede servir incluso como ejemplo para algunos de los cursos de la Facultad, generalmente catalogados por el estudiantado como muy teóricos y con poco alcance práctico.

Implementar un transmisor de televisión digital, no es una tarea sencilla. El primer problema a enfrentar es el acceso a la información técnica. Existe poca documentación generada en el país, para cumplir con las condiciones técnicas de un sistema complejo y que, además, ya lleva 7 años de vigencia como oficial. La norma presentada por la ARIB deja varias zonas grises, asume por conocidos conceptos clave, y no se explana más de lo necesario en cuestiones de fondo.

También existen fuertes limitaciones económicas para hacerse con software o hardware comercial que resuelvan incluso algunas de las funcionalidades más básicas que exige la norma.

Esta tesis intenta suplir esa carencia, en principio complementando el trabajo iniciado por el grupo ARTES con el receptor *gr-isdbt*. Se desarrolló a lo largo de este proyecto, un transmisor de televisión digital que cumple con las condiciones establecidas en la norma, y cuyas señales son decodificables por los televisores comerciales homologados por el LATU.

Contar con el trabajo presentado en *gr-isdbt* fue de una ayuda mayúscula, ya que basarse en el paradigma de código abierto ayudó a comprender, sintetizar y testear los conceptos teóricos vertidos en la norma, lo que fue fundamental para la comprensión de las funcionalidades que sería necesario implementar para poder transmitir.

Para este grupo de trabajo, es importante destacar lo valioso de la existencia de proyectos de código abierto, incontables veces encontramos en la comunidad puntos de vista, ideas y hasta algoritmos para resolver los problemas encontrados en el camino. Es por eso que esperamos poder contribuir con ella, poniendo a disposición de cualquier persona el transmisor *gr-isdbt-tx*, para que continúen con el trabajo de aprendizaje y la optimización del mismo por técnicos y estudiantes, seguramente con un mejor panorama del rubro, que el que tuvimos al implementar este proyecto.

Esperamos también, mediante el desarrollo de este documento, poder contribuir con la comunidad nacional de técnicos que trabajan en el rubro, y que no cuentan con documentación técnica generada por y para la norma nacional, con los problemas y las particularidades que la transmisión tiene en nuestro país y no tener que abstraer de trabajos de terceros, que resolvieron problemas similares en contextos diferentes. Entendemos que en este proyecto, los conceptos desarrollados por la norma se sintetizan en ordenes básicos al procesador, y al ser de código abierto y gratuito, se democratiza el acceso a una información a la que hoy por hoy solo se accede por medio de hardware y software propietario con licencias de costos elevados.

Capítulo 1. Introducción

Para esta documentación, que acompaña el código presentado para el transmisor, definimos seis capítulos en los que se explica el desarrollo del mismo. En el capítulo 2 presentamos algunos de los conceptos fundamentales de telecomunicaciones sobre los que se construye la norma. El capítulo 3 realiza un breve pasaje por los puntos clave del sistema transmisor ISDB-T, los cuales son necesarios para comprender algunos de los bloques que conforman el sistema. Para profundizar mas en los mencionados conceptos, invitamos al lector a revisar la tesis de maestría de Pablo Flores, que pueden encontrar en [8]. El capítulo 4 se detiene particularmente en el concepto de radio definida por software y presenta en detalle una implementación del mismo, en particular aquel sobre el cual se desarrolló el transmisor, que es GNURadio. Luego en el capítulo 5 analizamos punto por punto el código generado para implementar el transmisor, explicando en cada paso los conceptos del capítulo 2 y 3 que se necesita aplicar en cada bloque, y como se extrapolaron a C++, lenguaje en el que se escribió cada uno de los bloques de procesamiento. Mas adelante, en el capítulo 6 mostramos el desempeño del transmisor como un todo, realizando las evaluaciones practicas del mismo en función de los objetivos de este proyecto y se comentan los resultados obtenidos. Para terminar, en el capítulo 7, presentamos las conclusiones del proyecto en particular y planteamos algunos desafíos que seria interesante afrontar en un futuro.

Capítulo 2

Fundamento Teórico

Entendemos al proyecto gr-isdbt-tx como un complemento al trabajo de maestría presentado por Pablo Flores, por lo que nos parece reiterativo explicar en sumo detalle algunos de los fundamentos de telecomunicaciones sobre los que se construye la norma ISDB-T. Los mismos ya fueron explicados con gran claridad y nivel de detalle en la documentación de aquel proyecto. Quizás algunos de los lectores encuentren insuficiente el desarrollo de algunos de los conceptos incluidos en este capítulo, a ellos los invitamos a complementar la lectura de esta documentación, con la tesis de Pablo.

Es posible también, que entre los lectores se encuentren técnicos vinculados al área de sistemas y programación. Encontraran ellos, seguramente, mayor interés y profundidad de conceptos en los capítulos 4 y 5, donde detallamos el uso de GNU Radio como plataforma de SDR, y la estructura funcional de nuestro transmisor, así como los desafíos de programación a los que nos enfrentamos implementando cada uno de sus bloques.

Intentando contemplar el interés de todos los lectores, es que les presentamos en este capítulo un repaso sobre algunos de los conceptos que entendemos clave para comprender por que son necesarios algunos de los bloques del transmisor.

Comenzaremos explicando aquí como se modela el canal inalámbrico para trabajar, que problemas se enfrenta uno cuando debe diseñar un sistema de transmisión por aire y como mitigar algunos de los efectos que el canal tendrá sobre nuestra señal. Repasaremos algunos de los mas utilizados códigos de detección y corrección de errores. Luego vendrá una corta explicación sobre los sistemas OFDM, su surgimiento teórico y practico, para dar un marco de surgimiento de algunas de las funcionalidades de ISDB-T. Para terminar, explicaremos de que forma se encapsulan los datos a transmitir, para eso, repasamos algunos conceptos definidos en las normas MPEG, orientados hacia la transmisión de televisión, que ayudaran a modelar la fuente de datos del sistema.

2.1. Modelado del canal

Cuando una señal viaja a través del aire, sufrirá una serie de modificaciones a causa de muchos factores. El clima, el ruido generado por otras señales que también viajan por el mismo medio, los rebotes de la señal contra edificios, autos o cualquier objeto que se encuentre en el camino, son todos aspectos que modificaran la señal, y por lo que la señal recibida sera distinta de la transmitida.

De forma teórica, se podrían plantear las ecuaciones de Maxwell, definir condiciones de borde que modelen de manera fiel los obstáculos en el camino y calcular en cada momento y en cada lugar del espacio, la atenuación que afectara nuestra señal. Pero el canal cambia constantemente, las diferentes señales que comparten el medio también están en constante transformación, y por lo tanto no seria ni practico, ni útil seguir un camino como este para comprender el canal, mucho menos basarse en el para robustecer a la señal frente a los atenuantes que surgirán.

Es por eso que se realiza un modelado del canal. Una forma mas simple de entender al medio, donde consideramos modelos puntuales de las fuentes de interferencia, para obtener una idea general del comportamiento del mismo, y modelamos el éxito en recepción mediante una función de probabilidad. Este modelo del canal podrá ser mas o menos complejo, dependerá del técnico que se enfrente al problema decidir que herramientas incluir en función de los efectos que desea mitigar en su señal.

2.1.1. Canales Continuos

2.1.2. Canales Discretos

2.1.3. Las no idealidades del Canal

2.2. Estrategias para mitigar los efectos del canal

2.2.1. Códigos de detección y corrección de errores

La comunicación entre emisor y receptor puede modelarse mediante el proceso de la Figura 2.1. La situación es la siguiente, una fuente emisora envía mensajes m (palabras fuente) al receptor a través de un canal de comunicación. El mensaje debe ser traducido a algún mensaje que el canal esté capacitado para enviar, estos mensajes se conocen como palabras código.

Al otro lado del canal llega un mensaje codificado c' , el cual seguramente sea erróneo, pues en todo proceso real de comunicación existe ruido e imperfecciones en los canales. El mensaje es decodificado en una palabra m' , y generalmente $m' \neq m$.

Se desea que el receptor sea capaz de darse cuenta si el mensaje m' es realmente lo que se transmitió del otro lado, y más aún, poder corregirlo.

La Teoría de Códigos es un campo de la matemática aplicada que busca resolver los problemas de las etapas de codificación-decodificación y corrección, y que presenta su propia complejidad.

2.2. Estrategias para mitigar los efectos del canal

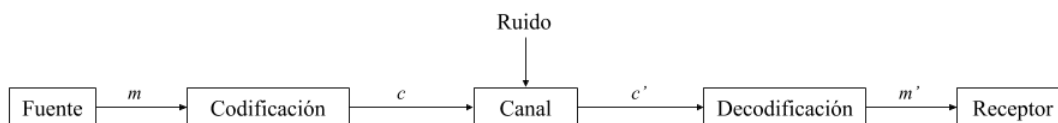


Figura 2.1: Esquema básico de codificación de canal.

La transmisión inalámbrica de una señal la expone a diversas fuentes de ruido, con lo cual los tipos de errores generados pueden ser muy variados. Por ejemplo los errores en ráfaga, en los que un conjunto de bits consecutivos se ven alterados, son muy comunes en las comunicaciones inalámbricas. También podría suceder que el canal radioeléctrico presente distorsión en algunas portadoras en particular.

El estándar ISDB-T hace uso de distintas técnicas modernas para la protección de los datos en transmisión. De hecho para proteger los datos en los ejemplos mencionados el estándar utiliza la *dispersión de energía* y el *entrelazamiento frecuencial*. Para la comprensión del estándar y el desarrollo de *gr-isdbt-tx*, es importante conocer el funcionamiento de estas técnicas. Profundizar en estos temas escapa los objetivos de este trabajo, por lo cual los detalles técnicos se pueden encontrar en las bibliografías mencionadas.

Para asegurarse que el receptor pueda llevar a cabo satisfactoriamente la demodulación y decodificación en una transmisión jerárquica, en la cual se utilizan múltiples parámetros de transmisión, se utiliza una señal denominada Transmission and Multiplexing Configuration Control (TMCC).

Como se verá en el Capítulo XX, la TMCC junto con otras señales piloto y las señales correspondientes a la transmisión de los datos útiles, conforman el cuadro OFDM.

Al tratarse de una señal que contiene información crítica sobre la transmisión se la debe proteger fuertemente frente a los distintos tipos de errores que podría sufrir durante su transmisión.

En particular ISDB-T establece que para la TMCC se debe utilizar el código acortado (200,118) del *difference-set cyclic code* (273,191) como código corrector de errores.

2.2.2. Códigos Cíclicos

El conjunto $GF(2) \triangleq \{0, 1\}$, con las operaciones de suma " + " y producto " \times " usuales módulo 2, cumple con la propiedad de que cualquier elemento de $GF(2)$ distinto de cero tiene inverso. Esta propiedad se cumple trivialmente en este conjunto y es la condición necesaria para que $GF(2)$ sea un *Campo de Galois*. Es común encontrar que a este campo también se lo llame *campo binario* y se lo denote como \mathbb{F}_2 . Las operaciones de suma y producto definidas en $GF(2)$ son asociativas, conmutativas y distributivas, y llevan elementos de $GF(2)$ en elementos de $GF(2)$. Por esto $GF(2)$ también es un *anillo*. El conjunto de todos los polinomios con

Capítulo 2. Fundamento Teórico

coeficientes en $GF(2)$ con las operaciones usuales de suma y producto forman un *anillo de polinomios* en $GF(2)$ y se denota como $GF(2)[x]$. Por ejemplo $g(x) = x^3 + x + 1$ es un elemento de $GF(2)[x]$.

Sea $\mathbf{c} = (c_0, c_1, \dots, c_{n-1}) \in GF(2)^n$, con $GF(2)$ tal como se describió anteriormente. Un código \mathcal{C} de bloque (n, k) se dice que es un *código cíclico* si para cada vector $\mathbf{c} = (c_0, c_1, \dots, c_{n-1}) \in \mathcal{C}$ cualquier rotación circular a la derecha de \mathbf{c} también pertenece a \mathcal{C} , es decir $(c_{n-1}, c_0, c_1, \dots, c_{n-2}) \in \mathcal{C}$. Los códigos de bloque se caracterizan por codificar mensajes de longitud fija k en *codewords* de longitud fija n , con lo cual el tamaño del mensaje original se incrementa en $n - k$. Cada *codeword* del código \mathcal{C} puede ser representada en una forma polinomial de la siguiente manera:

$$c(x) = \sum_{i=0}^{n-1} c_i x^i \quad (2.1)$$

A continuación se enumera una serie de propiedades de los códigos cíclicos, en [6] se puede encontrar una demostración detallada de cada una de ellas.

- Un código cíclico es un código lineal de bloque
- Cada *codeword* se corresponde con un polinomio
- Los polinomios del código forman un *ideal* en $GF(2)[x]/(x^n - 1)$
- Para un código cíclico existe un generador $g(x)$ que es divisor de $x^n - 1$ y que puede generar todos las *codewords* $c(x) = m(x)g(x)$

Se puede probar que esto implica la existencia de una *matriz de chequeo de paridad* $\mathbb{H} \in \mathcal{M}_{(n-k) \times n}$ tal que para toda *codeword* \mathbf{c} de \mathcal{C} se cumple $\mathbf{c}\mathbb{H}^T = \mathbf{0}$.

El proceso de codificación se realiza de la siguiente manera, primero se construye el polinomio $x^{n-k}m(x)$ de grado n . Luego se divide entre el polinomio generador $g(x)$ y el resto de esa división es el polinomio de paridad $d(x)$ que se le agregará al mensaje:

$$x^{n-k}m(x) - q(x)g(x) = d(x) \quad (2.2)$$

La *codeword* se forma de la siguiente manera:

$$c(x) = x^{n-k}m(x) - d(x) = q(x)g(x) \quad (2.3)$$

Como se trata de un múltiplo de $g(x)$, entonces efectivamente es una *codeword* válida. La representación vectorial de la *codeword* queda de la siguiente manera:

$$\mathbf{c} = (-d_0, -d_1, \dots, -d_{n-k-1}, m_0, m_1, \dots, m_{k-1}) \quad (2.4)$$

En una situación en la que se recibe una palabra \mathbf{r} cuyo mensaje es \mathbf{m} y sus bits de paridad son \mathbf{d} , el procedimiento para detectar si hubo error es codificar el mensaje \mathbf{m} que se recibió con el mismo codificador utilizado por el transmisor (ambas partes deben conocer el polinomio generador), y luego comparar el \mathbf{d}'

obtenido con el \mathbf{d} recibido. Si ambos difieren entonces hubo error. Por ejemplo, para un código cíclico $(7, 4)$ con polinomio generador $g(x) = x^3 + x + 1$ se desea codificar el mensaje 1001. Los mensajes codificados tendran $n - k = 7 - 4 = 3$ bits de paridad. El mensaje en su forma polinomial queda $m(x) = 1 + x^3$. Los bits de paridad se obtienen calculando el resto de la division $x^{(7-4)}m(x)/g(x)$, los coeficientes de ese resto seran los bits de la paridad buscada. Operando se llega a que la paridad es 011 y el mensaje codificado queda 0111001.

2.3. Modulación OFDM

En 1966, Chang presenta un método para lograr la multiplexion canales de datos a través de un medio de frecuencia acotada, en [2], que elimina los efectos de interferencia intersimbolica e intercanal. Implico un cambio importante en la teoría de telecomunicaciones de la época, pues hasta entonces, los resultados existentes tomaban como funciones modulantes ortogonales, señales limitadas en el tiempo, lo que implica grandes anchos de banda en frecuencia, y en los canales de banda acotada implementados en la practica se traducían en interferencias producto de los recortes en banda.

En el paper, Chang postula la idea de una nueva clase de funciones modulantes acotadas en frecuencia, que ademas, permite modular de manera independiente amplitud y frecuencia. En ese momento se sentaban las bases de la modulacion OFDM (Orthogonal Frequency-Division Multiplexing).

Uno de los mayores problemas de los sistemas FDM, era la incapacidad para escalar en cantidad de canales. La complejidad y el costo de construir los osciladores para la cantidad de portadoras necesarias, mantenían la brecha entre la teoría y la practica.

La solución a estos problemas, llega cuando se logra programar computadoras capaces de procesar grandes cantidades de datos, mediante la implementación del algoritmo de “Fast Fourier Transform”.

Weinstein y Ebert, resolvieron en [10] el problema de la escalabilidad de los sistemas FDM, mediante la conjugacion de los mencionados avances tecnologicos, discretizando las señales a transmitir, y modulandolas por computadora, en lugar de usar los bancos de osciladores.

Una señal multitonal, puede ser vista como la transformada de fourier de un tren de pulsos, y la demodulacion coherente a su vez puede entenderse como la aplicación en tiempo continuo de una transformada inversa de Fourier. Entonces, probaron que muestreando la señal de origen, y mediante la implementación de un modem sobre una computadora que ejecute el algoritmo de la transofrmada rápida de fourier, se pueden obtener aproximaciones suficientemente cercanas a los de la señal original.

En principio el resultado es valido para un sistema FDM con N canales simultáneos, con portadoras separadas en frecuencia en distancias suficientemente cercanas, como para aproximar la respuesta al impulso del canal, como si fuese de modulo constante sobre cada uno de los N canales.

Capítulo 2. Fundamento Teórico

Pero falta un paso mas, pues la hipótesis del comportamiento del canal constante, se aleja bastante de la realidad. Plantearon entonces un canal, de respuesta al impulso lineal en frecuencia.

En estas condiciones, y atendiendo ademas que la señal discreta a transmitir solo “vive” en el ancho de banda de transmisión ($N \cdot \Delta f$), consideraron a la señal a transmitir como una transformada de fourier enventanada. Desarrollando estas ideas lograron probar que, si la ventana es plana en las frecuencias de interés, y se agregan “guardas” de seguridad a ambos lados de las portadoras activas, de modo que las colas del enventanado caigan de forma continua, (alejando el enventanado de la idealidad de las ventanas rectangulares) se logran condiciones para reducir la distorsión generada por la respuesta al impulso del canal, a efectos transitorios de dispersión rápida, y la señal en recepción sigue convergiendo a la señal transmitida.

2.4. MPEG y sus Estandares

El Moving Picture Experts Group (MPEG) [7] es un grupo de trabajo conformado por expertos internacionales, formado por la Organizacion Internacional de Normalizacion (ISO) en conjunto con la Comision Electrotecnica Internacional (IEC), con el objetivo de desarrollar estandares para la codificacion, compresion y transmision de audio y video.

Uno de los estandares publicados por el MPEG, es MPEG-4. Consta de metodos para la compresion digital de contenidos audiovisuales, y abarca la difusion de los mismos a traves de una amplia gamas de tecnologias, desde el streaming de datos a traves de la web, codificacion de voz y video para telefonía y videoconferencias, comercializacion de discos compactos (CD) y hasta formatos para la transmision de Television.

Es en este ultimo punto donde se vincula con ISDB-T Internacional, puesto que para la codificacion de fuente en la norma, fue seleccionado el Estandar MPEG-4 Parte 10 “Advanced Video Coding”, tambien denominado H.264.

Para garantizar que los receptores de television digital ISDB-T, tambien sean compatibles con los transmisores tanto de ISDB-T como de ISDB-T International, se encapsulan los videos codificados en H.264 dentro de un formato denominado “Transport Stream” que se define en la norma MPEG-2 Parte 1 – Sistemas.

En el transmisor gr-isdbt-tx, tomamos como fuente de datos un archivo codificado como Transport Stream, para garantizar esta compatibilidad.

2.4.1. MPEG 2 Transport Stream

Un Transport Stream (TS) es un contenedor de datos en el que se encapsulan en conjunto uno o mas PES (Paquetized Elementary Streams), junto con códigos de corrección de errores y flags de sincronismo. La combinación de esta información, permite mantener la continuidad de la decodificación incluso cuando cuando el canal se degrada fuertemente.

Un Paquetized Elementary Stream (PES), es una especificación de MPEG 2 para el transporte de flujos elementales, generalmente las salidas del codificadores

2.4. MPEG y sus Estandares

de audio y video. En ISDB-T, los Elementary Streams generalmente contienen video, audios en mas de un idioma, archivos de subtitulo, grillas de programación y tablas de información de transmisión.

Al comienzo de la cadena de transmisión, en ISDB-T, se multiplexan varios TS, para crear un único TS sobre el cual se va a trabajar. El mismo sera sometido luego a varias capas de codificaciones de canal, para robustecerlo aun mas frente a las perdidas. Este proceso se discutirá luego en el capítulo 3.

La estructura de un Transport Stream es la siguiente: (Imagen)

Los datos de los elementary streams se recortan en secciones de 188 bytes, este tamaño tan chico, permite que se realice un entrelazamiento con otros ES con muy baja latencia, y con una mayor resistencia ante las perdidas.

2.4.2. Tablas PMT

Dentro de los Transport Streams se define el concepto de Programas. Cada programa esta definido en una tabla denominada PMT (Program Map Table), que viaja multiplexada en el TS de transmisión, identificada por un PID único. Los Elementary Streams asociados con el programa en cuestión, tienen sus PIDs listados en la PMT. En general, se asocia cada canal con un programa, aunque también podrían utilizarse programas para (completar)

Cuando un receptor decide reproducir un canal en particular, lo que tiene que hacer es decodificar los payloads contenidos en los TS cuyos PIDs están en la tabla PMT

Ademas de la tabla PMT, existen otros tipos de tablas en MPEG-2. Para el alcance de este documento, nos interesa detallar solo dos mas. La Program Association Table (PAT), contiene una lista con todos los programas

2.4.3. Tablas PAT

La Program Association Table (PAT), es una tabla que contiene una lista de todos los programas disponibles en el TS. Esta formada por valores de 16 bits denominados Program Number, asociados cada uno de ellos con un PID correspondiente a su tabla PMT dentro del stream.

De modo que, el receptor que se conecta al stream en cualquier momento de la transmisión, pueda hallar el programa de interés y sintonizarlo, es que se identifican a todos los paquetes del Transport Stream con un identificador único, o PID. Las tablas PAT siempre van contenidas en paquetes de PID 0x0000.

Habiendo identificado la PAT por su PID bien conocido, el receptor selecciona un programa de la lista y guarda el PID de su tabla PMT. Luego filtrando todos los paquetes cuyo identificador difiera del identificador del programa elegido, se hace con toda la información de decodificación del programa contenida en la PMT, y luego podrá discriminar entre todos los paquetes del TS, los del contenido audiovisual que le son de interés para decodificarlo.

2.4.4. Paquetes Nulos

Resulta vital para un esquema de transmisión de televisión mantener el bitrate constante, pero puede ocurrir que falten datos para contemplar esa tasa. Es por eso que se definen los paquetes nulos. Un multiplexor completa con los paquetes necesarios para mantener la tasa constante.

Para diferenciar los datos validos de los paquetes de relleno, al igual que lo que sucede con la tabla PAT, es que se usa para identificar los paquetes nulos un PID bien conocido, que en este caso es el 0x1FFF.

Capítulo 3

El Sistema de Televisión Digital Terrestre ISDB-T

El esquema de transmisión del estándar ISDB-T que se presenta en la Figura 3.2 puede ser caracterizado en cuatro grandes etapas que serán presentadas en este capítulo: el flujo de transporte BTS (*Broadcast Transport Stream*), la etapa de robustecimiento de la señal, la formación de los Cuadros OFDM con sus señales piloto y la puesta en el aire de la señal.

Cada una de esas etapas tiene a su vez varias subetapas, o bloques fundamentales, que se enfocan en resolver los distintos problemas discutidos que surgen al transmitir una señal inalámbrica. Esto da como resultado una variedad de parámetros de operación presentados en la Tabla 3.1 que permitirán por ejemplo, la transmisión jerárquica en distintas capas, cada una con su propia configuración; o enfocarse en robustecer la transmisión frente al *multipath* o al efecto Doppler.

A nivel de la distribución en el espectro, el estándar utiliza 6 MHz de ancho de banda de canal distribuido en 14 segmentos de los cuales sólo 13 son utilizados para enviar datos, el restante se utiliza como guarda a ambos lados del canal. También se incluye un piloto continuo que se trata de una portadora modulada en BPSK ubicada a continuación del Segmento 12.

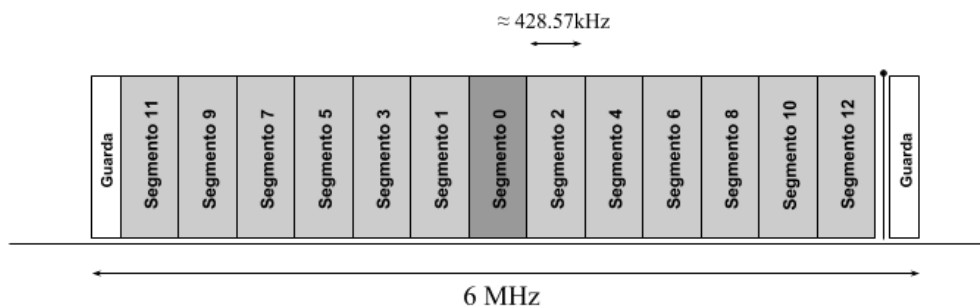


Figura 3.1: Distribución espectral de los segmentos OFDM. A la derecha puede apreciarse la presencia del piloto continuo.

Capítulo 3. El Sistema de Televisión Digital Terrestre ISDB-T

Tener un esquema de transmisión jerárquica permite asignar a cada capa jerárquica la cantidad de segmentos que uno quiera. El estándar de la ARIB denomina a estas capas como A, B y C, y es posible tener configuraciones con solamente 2 capas presentes tal como la de la Figura 3.1 en la que la capa A corresponde al segmento 0 y el resto de los segmentos forman la capa B.

En los comienzos de la televisión digital en el Uruguay los operadores que prestaban servicios de televisión digital debían transmitir su señal en calidad HD, en SD y *oneseq*, es decir en tres capas jerárquicas. Esto era así porque se entendía que en el mercado circulaba una gran cantidad de receptores que no eran capaces de procesar la calidad HD. Posteriormente esa directiva fué suprimida y al día de hoy los operadores no están obligados a transmitir en SD.

El sistema puede operar en tres *modos de transmisión* diferentes que se caracterizan por la cantidad de portadoras utilizadas, siempre en el mismo ancho de banda de 6 MHz. Las portadoras utilizadas son $2^{10+modo}$ donde el modo puede ser 1, 2 o 3.

Se define la frecuencia de muestreo de la IFFT como $f_{IFFT} \triangleq \frac{512}{63\mu s} \approx 8,127MHz$, que a su vez coincide con el número de portadoras utilizadas sobre el tiempo de símbolo activo T_s . Por lo tanto la utilización de un número mayor de portadoras implica utilizar símbolos más largos para respetar la relación de la f_{IFFT} ; aumentar el tiempo de símbolo activo implica reducir el ancho de banda ocupado por cada portadora.

Cada segmento a su vez está conformado por dos tipos de señales portadoras. Las primeras son las correspondientes a los datos, y las otras son las denominadas *portadoras piloto* que cumplen se utilizan para la estimación del canal y transmisión de parámetros de control e información del sistema. De manera general, los segmentos tienen $96 \times 2^{modo-1}$ portadoras de datos $12 \times 2^{modo-1}$ portadoras piloto dependiendo del modo de transmisión. En la Tabla 3.1 se evalúan estos parámetros para los distintos modos de transmisión.

3.1. BTS como fuente de datos

El estándar ISDB-T admite la posibilidad de tomar hasta tres *Transport Streams* (TS) MPEG-4. A estos flujos se les debe agregar la información necesaria para la transmisión en capas jerárquicas. El bloque TS Remux es el que se encarga de multiplexar los tres flujos de transporte y a cada TSP agregarle 16 bytes de información. Una vez que se agregan estos datos los paquetes de cada capa son multiplexados según un patrón de ordenamiento que es único para cada configuración del sistema, en [4] se explica este patrón y se presenta un algoritmo para recuperarlo en recepción. El transmisor implementado en este trabajo toma como flujo de entrada un BTS ya conformado, y con la información jerárquica de los TSP es que logra procesar cada capa por separada. De ahí en adelante las capas son entrelazadas y moduladas cada una de acuerdo a su propia configuración.

3.1. BTS como fuente de datos

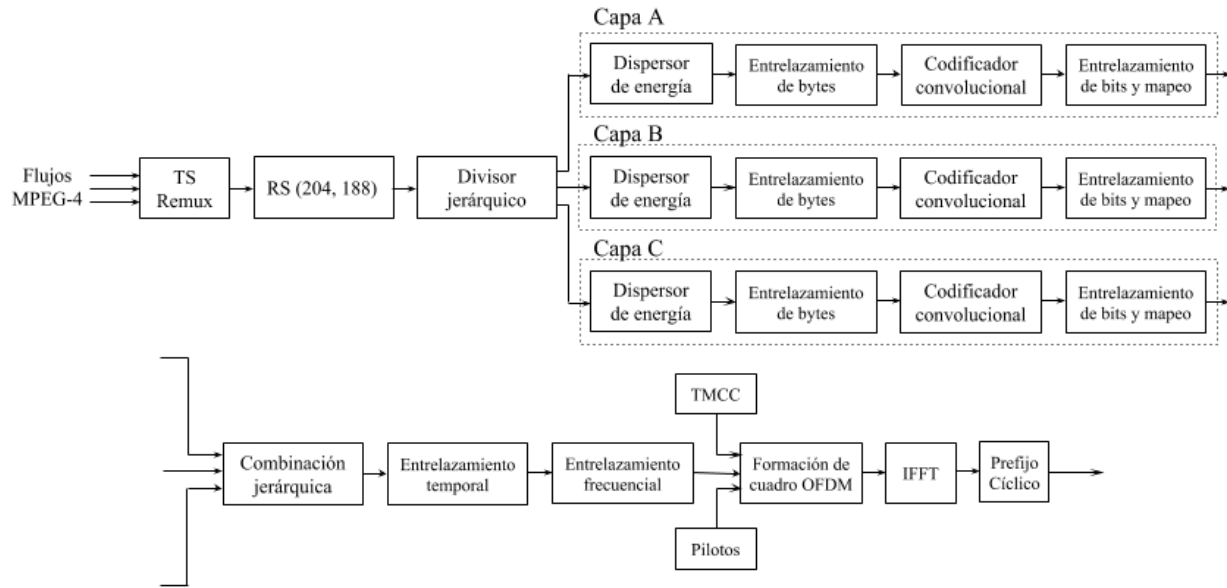


Figura 3.2: Diagrama de bloques del transmisor ISDB-T definido por la ARIB.

Parámetro	Valor
Ancho de banda del canal	6 MHz
Cantidad de segmentos	13
Ancho de banda de cada segmento	$6000/14 \approx 428,57 kHz$
Cantidad de portadoras activas por segmento	96 de datos y 12 pilotos (Modo 1) 192 de datos y 24 pilotos (Modo 2) 384 de datos y 48 pilotos (Modo 3)
Duración de símbolo activo	$252\mu s$ (Modo 1) $504\mu s$ (Modo 2) $1008\mu s$ (Modo 3)
Duración del prefijo cíclico	$1/4, 1/8, 1/16, 1/32$ (fracción del símbolo activo)
Tasa de código convolucional	$1/2, 2/3, 3/4, 5/6, 7/8$
Tasa de código Reed-Solomon	(188, 204)
Profundidad del entrelazamiento temporal	0, 1, 2, 4 (Modo 1) 0, 2, 4, 8 (Modo 2) 0, 4, 8, 16 (Modo 3)
Esquemas de modulación	DQPSK, QPSK, 16QAM, 64QAM
Frecuencia de muestreo (f_{IFFT})	$512/63 \approx 8.127$ MHz

Tabla 3.1: Parámetros relevantes en el estándar ISDB-T.

3.2. Robustecimiento frente a las no idealidades del canal

Como primer medida para proteger los datos del BTS se aplica un código Reed-Solomon (204, 188). El proceso de codificación consiste en sustituir los últimos 16 bytes de los TSP por una paridad que permite corregir hasta 8 bytes de error en el paquete.

Este bloque remueve la información jerárquica agregada por el TS Remux con lo cual una vez que los TSP son codificados por el Reed-Solomon en principio ya no es posible distinguir a qué capa pertenece cada paquete, es decir que al llegar al bloque de división jerárquica ya no se cuenta con esa información. Una estrategia para sortear este problema, y de hecho la que se implementa en *gr-isdbt-tx*, consiste en separar primero los paquetes correspondientes a cada capa jerárquica y luego codificar los paquetes. Una vez encaminados los paquetes se puede prescindir de la información jerárquica. El diagrama de bloques presentado en la Figura 3.2 corresponde al esquema original de la ARIB en la que se define el estándar ISDB-T, mientras que la Figura 3.2 se encuentra la implementación utilizada en *gr-isdbt-tx*.

Para evitar los problemas de sincronismo que podría ocasionar una señal con muchos ceros o unos consecutivos, se utiliza un *dispersor de energía* que se encarga de generar un flujo pseudoaleatorio. Este proceso se define de manera tal que resulta ser totalmente invertible y por lo tanto aplicando el mismo proceso en recepción se obtiene la secuencia original.

Los canales inalámbricos son propensos a una multiplicidad de fuentes de error. Un tipo de errores muy comunes en estos canales son los *errores en ráfaga* provocando que una secuencia consecutiva de bits se corrompan. El impacto de estos tipos de errores crece con la velocidad de transmisión; a mayor velocidad de transmisión un mismo error afecta a una mayor cantidad de bits. Resulta necesario lograr algún tipo de inmunidad ante estos errores, es por ello que en muchos sistemas, y en particular en ISDB-T, se suelen concatenar códigos correctores de errores. David Forney en su trabajo *Concatenated Codes* [5] estudia el compromiso que existe en la utilización de sucesivos códigos concatenados, y en especial la performance que pueden llegar a alcanzar los códigos Reed-Solomon concatenados. El estándar ISDB-T utiliza este enfoque a través de la implementación de un código Reed-Solomon como *outer code* y un código convolucional como *inner code*. Como medida adicional para contrarrestar los efectos del canal se utiliza el *entrelazamiento de bits* que esencialmente consiste en introducir retardos variables en los bits que se transmiten.

Al transmitir en múltiples portadoras ortogonales se corre el riesgo de atravesar canales selectivos en frecuencia y por lo tanto que ciertas portadoras se vean continuamente afectadas. Para mitigar esto una estrategia puede ser rotar de portadora los contenidos que se transmiten, es decir hacer un *entrelazamiento frecuencial*. Con esto se logra que ante un canal selectivo, ya lo sea por sus características propias o por interferencias de señales espurias fuera de banda, las portadoras que son afectadas no resulte en una pérdida de bloques de información irrecuperables.

3.3. Formacion de los cuadros OFDM

El estándar define una estructura de cuadro OFDM formada por un conjunto de 204 símbolos OFDM consecutivos, es decir que, por ejemplo, para el modo 1 se tienen 108 símbolos complejos por segmento con lo cual un cuadro OFDM en modo 1 está compuesto por $108 \times 13 \times 204$ complejos. Esta estructura facilita las tareas de sincronización en el receptor.

3.4. Las portadoras y la modulacion

Cada segmento OFDM está conformado por una cantidad de portadoras en función del modo de transmisión. La mayor cantidad de portadoras está destinada a la transmisión de los datos mientras que algunas otras son utilizadas como mecanismos para la estimación del canal, sincronización, transmisión de parámetros de funcionamiento entre otros.

Scattered Pilot Las portadoras piloto son señales moduladas en BPSK que se generan a partir de una secuencia pseudoaleatoria PRBS (Pseudo Random Binary Sequence). El procedimiento para generar estas portadoras consiste en evolucionar el circuito de la Figura XX y tomar W_i para la modulación BPSK. El índice de la portadora SP dentro del símbolo OFDM es el que determina la cantidad de veces que se debe evolucionar el registro para obtener W_i . Por último la modulación se realiza como $(4/3, 0)$ si $W_i = 0$, y $(-4/3, 0)$ si $W_i = 1$.

Las SP se ubican cada 12 portadoras y a medida que transcurren los símbolos OFDM las mismas van rotando $3 \times n \text{ MOD } 4$, donde n es el número de símbolo OFDM. Esto sucede así puesto que la función de estas portadoras es justamente la estimación del canal y por lo tanto para contemplar la situación de todo el canal de 6MHz es necesario ir rotándolas.

Portadora TMCC Las portadoras TMCC son las que transportan toda la información de las capas jerárquicas y la información de control. Si bien en los cuadros OFDM se transmiten varias TMCC estas tienen exactamente el mismo contenido, lo que da al receptor la posibilidad de ponderar todas las TMCC que recibe para quedarse con las que tienen mayor porcentaje de coincidencia entre sí. Se compone de 204 bits modulados en DBPSK de los cuales el primero es un bit de referencia para realizar la modulación diferencial. Este bit coincide con el valor de la W_i correspondiente al primer símbolo del cuadro OFDM. Los siguientes 16 bits son utilizados por una señal de sincronismo que puede tomar los valores $w_0 = 0011010111101110$ y $w_1 = 1100101000010001$, alternándose entre una y otra en cada cuadro OFDM. A continuación se encuentran los datos de la información jerárquica y otros parámetros para los que se dedican 105 bits. Estos 105 bits son protegidos por un código cíclico acortado (200,118) con lo cual se dedican los siguientes 82 bits para la paridad.

Portadoras Auxiliares

Las portadoras auxiliares están pensadas para transmitir información complementaria del control de transmisión. Utilizan modulación diferencial DBPSK con referencia W_i al igual que la TMCC. Su uso es opcional y el sistema puede

Capítulo 3. El Sistema de Televisión Digital Terrestre ISDB-T

trabajar perfectamente prescindiendo de ellas; en caso de no ser usadas los bits correspondientes a las portadoras AC se rellenan con "1".

Piloto Continuo Al igual que las SP, se agrega un piloto continuo a la derecha del segmento 12 con propósitos de sincronismo en recepción. Su modulación también es BPSK y toma el valor de $(-4/3, 0)$, $(4/3, 0)$, $(4/3, 0)$ para los modos 1, 2 y 3 respectivamente.

Capítulo 4

Radio definida por Software

Cuando en telecomunicaciones se habla de radio, se hace referencia al hardware necesario para transmitir o recibir información, haciendo uso de la banda del espectro radioeléctrico ubicado en radiofrecuencia (RF).

La mayoría de los sistemas de comunicación de hoy en día necesitan de un radio, la telefonía móvil, la navegación por satélite, la aviación comercial, la televisión abierta, son todos ejemplos. En general los radios varían en dimensiones y costos según la aplicación, pero son muy poco versátiles en cuanto a sus capacidades. Con cada actualización tecnológica que reciben las redes, por ejemplo la modernización de la red móvil de 3G a LTE, implica una renovación total del equipamiento de radio.

El concepto de Radio Definida por Software no es nuevo, algunas de sus ideas fundacionales se publicaron en la década de los 70. Pero ha sido el masivo desarrollo de la industria tecnológica el que ha impulsado en los últimos años la implementación de sistemas basados en SDR.

Para implementar un equipo de radio definida por software, solo es necesario contar con una antena de radiofrecuencia, capaz de transmitir/emitir señales analógicas, y un conversor analógico-digital que alimenta de muestras a un procesador de propósito general. Es aquí donde radica la diferencia con los radios implementados en hardware, en los cuales se implementa toda una circuitería electrónica para realizar el procesamiento. La masividad de los procesadores y el auge de la programación de hoy en día, permiten implementar fácilmente un SDR, y realizar todo tipo de proyectos de distinta escala, reutilizando el equipamiento.

Durante la realización de este proyecto, utilizamos como entorno de desarrollo para crear los bloques de procesamiento de señales al software GNU Radio, y como antena utilizamos un equipo N200 del fabricante Ettus Research.

4.1. GNU Radio

GNU Radio es un entorno de desarrollo orientado a procesamiento de señales, es gratuito y de código abierto. Mediante la interconexion de bloques de procesamiento, puede usarse en conjunto con antenas de RF para desarrollar SDRs, o en

Capítulo 4. Radio definida por Software

una versión local en modo de simulación de sistemas.

La aplicación por defecto trae una amplia gama de bloques funcionales para trabajar, desde herramientas simples como filtros y ecualizadores, hasta estructuras complicadas, como lo es un transmisor DTV completo. Existe además una gran comunidad, muy activa, que está permanentemente publicando nuevos contenidos, para ampliar la gama de herramientas existentes en la actualidad.

Esto se da porque al ser de código abierto, es relativamente sencillo crear bloques nuevos. El entorno soporta desarrollos de código en python y en C++, siendo este último el lenguaje con el que hemos implementado nuestro transmisor `gr-isdbt-tx`. Si bien puede parecer un poco complejo comprender la metodología de GNU Radio en un principio, una vez que comenzamos a trabajar con él y atravesamos la curva de aprendizaje, nos encontramos con una herramienta muy poderosa, y con la que es más sencillo comprender algunos de los conceptos teóricos establecidos en la norma. Durante la carrera, nos habíamos encontrado con GNU Radio en algunas ocasiones, donde pusimos en práctica algunos conceptos básicos de sistemas de comunicación. No fue hasta esta instancia, en la que pudimos encontrarnos con el potencial total de la herramienta.

Pasaremos a desarrollar algunos de los conceptos clave para comprender el uso de GNU Radio, ejemplificando con nuestro transmisor `gr-isdbt-tx`.

4.1.1. Flowgraphs

El flowgraph es la estructura de datos más básica del programa. Puede entenderse al mismo como si fuera una mesa de trabajo. Dentro de un flowgraph, vamos a insertar nuestras muestras desde la fuente, las vamos a procesar y las vamos a exportar, ya sea hacia un archivo o hacia el canal a través de una antena.

4.1.2. Bloques

En GNU Radio, los datos siempre se mueven a través de bloques. Un bloque puede tener la fuente de datos, realizar operaciones sobre las muestras, puede exportar datos hacia el exterior del entorno, o puede tener toda una estructura de bloques adentro. Existen cuatro tipos de bloques, y se diferencian por la tasa de muestras que atraviesan el mismo.

Bloques Sincronos (1:1), este bloque permite implementar funcionalidades que consuman y produzcan la misma cantidad de muestras por puerto. Los bloques sincronicos pueden tener cualquier cantidad de entradas y salidas. En particular, cuando un bloque sincrónico tiene 0 entradas, se tiene una fuente de datos (source). Cuando, al contrario, tiene 0 salidas, decimos que es un sumidero (sink). El bloque dispersor de energía por ejemplo, es un caso de bloque sincrónico de `gr-isdbt-tx`. Volveremos sobre esto en el capítulo 5.

Bloques Decimadores (N:1), son los que producen menos muestras de las que consumen, y de forma análoga, existen también los *Bloques Interpoladores (1:M)*.

Finalmente tenemos el caso general, *Bloques Generales (N:M)*, en el cual no existe a priori una relación entre muestras de entrada y de salida, y cada usuario

debe definirlo para el bloque en particular que esta creando mediante una función llamada `forecast`. Uno de los mas claros casos de bloque general en nuestro transmisor, es el bloque que crea el cuadro OFDM. En tiempo de compilación, no sabemos los parámetros de transmisión que determinan la tasa de muestras. Es en tiempo de ejecución que estos valores quedan definidos, el propio motor de GNU Radio se encarga de orquestar el flujo de datos para que todo funcione en régimen, Para implementar el transmisor, tuvimos que separar las funcionalidades en bloques de procesamiento, e implementar aquellos bloques que no estuviesen ya presentes en el repositorio. Algunos ejemplos como conversores serie a paralelo, el codificador Reed Solomon, el codificador Viterbi, existían ya como bloques funcionales del programa, y fueron re utilizados.

4.2. Hardware

Universal Software Radio Peripheral (USRP) es una linea de plataformas de hardware para SDRs diseñados y comercializados por la empresa Ettus Research. Gran parte de la arquitectura de estos equipos es de código abierto, y puede ser descargada desde la web de la empresa. Con estos equipos se logra poner en funcionamiento soluciones de radio definida por software por costo accesible.

En líneas generales, se componen de una placa madre en la que conviven varios subsistemas, como lo son un generador y sincronizador de señales de reloj, conversores analógico digitales y FPGAs, que se encargan de realizar tareas de procesamiento de señal en banda base. Se complementa con una placa modular denominada “daughterband” que realiza tareas como filtrado, condicionamiento de señal y modulación las señales en frecuencias de hasta 6 GHz.

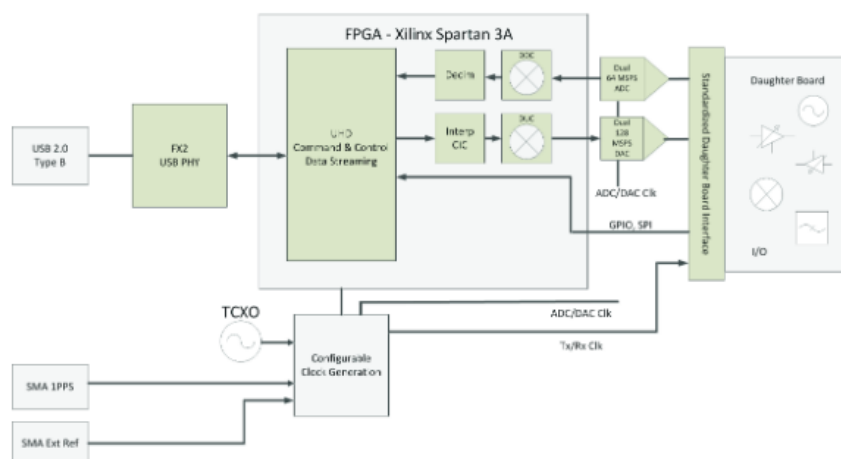


Figura 4.1: Arquitectura general de un equipo USRP

Durante este proyecto, trabajamos con el modelo USRP B100.

Capítulo 4. Radio definida por Software

4.2.1. USRP B100

En este modelo, las muestras llegan al equipo a través de una interfaz USB 2.0 y tiene una capacidad para transmitir en velocidades de hasta 16 MS/s, cuando se trabaja con muestras de 8 bits.

Este modelo en particular está actualmente discontinuado, pero su precio en el mercado rondaba los 700 dólares. Para el desarrollo del proyecto, recibimos en calidad de préstamo uno de estos equipos para las pruebas.

Para poder levantar el equipo desde una PC, es necesario instalar el driver universal de Ettus, “USRP Hardware Driver”. La mejor forma de hacer esto es instalarlo desde su repositorio oficial [9]. El driver es gratuito y de código abierto, y soporta todos los equipos de radio de Ettus.

La forma más sencilla de instalar el driver, es ejecutar en una línea de comandos `sudo apt-get install uhd`. Pero este comando instalara por defecto, el último release estable del controlador. Puede suceder que se desee trabajar con un release en particular, para eso, se debe realizar una copia del repositorio con las herramientas de línea de comando de *git*.

```
git clone https://github.com/EttusResearch/uhd
```

Nos creará una copia del repositorio entero del driver. Una vez ahí, es necesario moverse hacia el commit donde se encuentra el release que nos interesa instalar, para eso, nos movemos entre las branches del repositorio con el comando:

```
git tag -l
```

Obtenemos una lista de los releases publicados en el repositorio, para movernos al de interés, utilizamos el comando

```
git checkout nombre_release_deseado
```

Una vez parados en el release a instalar, simplemente instalamos con el uso de la herramienta *make*

Con el driver instalado, para verificar que esté funcionando correctamente, debemos realizar los siguientes pasos.

```
uhd_usrp_probe
```

Muestra una lista de los dispositivos soportados que estén conectados a la pc. En nuestro caso, el equipo es el B100 y la salida del comando es la siguiente:

También se puede configurar antenas que no estén directamente conectadas a la pc, pero sí en una dirección de red. No vamos a entrar en más detalles con respecto a este punto, pero vale la pena mencionarlo.

Interfaz con GNU Radio

Para intercomunicar al equipo con el software de procesamiento de datos, es necesario incluir en el flowgraph, bloques del complemento gr-uhd (en las versiones actuales de GNURadio ya vienen incluidos). Este complemento, vincula a la interfaz con el driver que se instaló según los detalles en la sección anterior. En gr-isdbt-tx, las muestras ya procesadas se enviaban al equipo a través de un bloque sink.

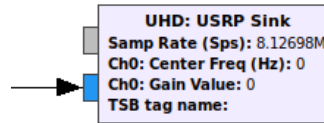


Figura 4.2: Bloque sink al equipo USRP

Los argumentos con los que funciona son la tasa de muestras, la frecuencia de destino en la que se desea transmitir y el valor de ganancia aplicado a la señal de entrada. Es importante verificar que los parámetros a seleccionar sean soportados por el hardware. En el caso de nuestra transmisión, tiene una tasa de muestras objetivo de:

$$f_{IFFT} = \frac{\text{portadoras}}{T_s} = \frac{512}{63} \approx 8,127 \text{ MHz}$$

Para verificar que la tasa de muestras sea soportada por el transmisor, primero debemos verificar el tamaño de los datos. En nuestro caso, el tipo es *grc::complex*, el cual es un tipo propietario de GNU Radio, formado por dos variables *std::complex* cada una de 32 bits representadas en punto flotante. Es decir que cada una de las muestras de nuestro transmisor se compone de 64 bits.

Recordando que el B100 tiene una capacidad de $61,44 \text{ MS} \bar{s} @ 16 \text{ bit} I/Q$, si le imponemos nuestra tasa de $32 \text{ bit} I/Q$ tendremos un ancho de banda disponible aproximado de $\approx 32 \text{ MS} \bar{s} @ 32 \text{ bit}$ lo cual es muy superior a nuestra tasa objetivo. Esto nos garantiza que podremos transmitir sin problemas de aliasing.

Otro aspecto a tener en cuenta con el transmisor, es verificar que la amplitud de las muestras este normalizada, a modo de evitar un efecto de *clipping* a la salida, esto es, que todas las muestras superiores a 1, terminaran con la misma amplitud en recepción, lo que nos dejara una señal trunca en amplitud. Evitar este problema resulta sencillo, basta con agregar una ganancia a la salida del sistema de factor 0.5, para que las amplitudes que llegan al bloque de sink, y van hacia el equipo estén lejos de los umbrales de clipping.

Esta página ha sido intencionalmente dejada en blanco.

Capítulo 5

Un transmisor ISDBT implementado en GNU Radio

5.1. Generalidades del Transmisor

Por ejemplo algunas

5.2. El flujo de datos en GNU Radio

5.3. Obtencion de los TSP por capa

5.4. Codificaciones de Canal

5.5. La modulacion

5.6. El uso de los entrelazamientos

5.7. Formacion de cuadros OFDM

5.7.1. Las portadoras piloto

5.7.2. Las portadoras activas

5.8. El prefijo ciclico

5.9. La transmision desde USRP

Esta página ha sido intencionalmente dejada en blanco.

Capítulo 6

Evaluacion del sistema

Al menos algunas pruebas de alcance y compatibilidad. Con el poco tiempo que nos queda no va a dar para mucho más.

6.1. Pruebas sobre gr-isdbt

6.2. Pruebas sobre televisores comerciales

Esta página ha sido intencionalmente dejada en blanco.

Capítulo 7

Conclusiones y trabajo a futuro

Esta página ha sido intencionalmente dejada en blanco.

Apéndice A

Algo que agregar

De lo que aprendí y no es tan relevante.

Lorem ipsum dolor sit amet, consectetur adipiscing elit. Curabitur non neque tempor nunc fringilla tincidunt a a tortor. Phasellus leo turpis, commodo aliquam vehicula a, auctor in magna. Nulla non venenatis neque. Sed sit amet turpis metus, vel accumsan ligula. Suspendisse malesuada lacus sed tellus mollis a posuere mi porttitor. Nunc venenatis ante sit amet metus euismod iaculis. Phasellus accumsan lacinia eros, nec tempor lacus malesuada a. Suspendisse leo justo, pulvinar vitae molestie sit amet, ullamcorper ut mauris. Proin sed est ipsum.

Nulla leo ligula, porttitor eu dapibus non, porta sit amet enim. Ut eros nibh, fringilla ultrices rhoncus ut, luctus ut nibh. Nam id urna ac ligula fermentum rutrum. Sed eu cursus lacus. Donec pretium fermentum augue, eu interdum ipsum faucibus a. Praesent feugiat elit ligula. Sed ac augue luctus ligula aliquet scelerisque commodo nec justo. Class aptent taciti sociosqu ad litora torquent per conubia nostra, per inceptos himenaeos. Class aptent taciti sociosqu ad litora torquent per conubia nostra, per inceptos himenaeos. Vivamus eget sem ac sapien elementum suscipit. Ut odio tellus, accumsan sit amet condimentum vehicula, vestibulum quis dui. Quisque posuere semper massa quis cursus. Aliquam gravida tellus eget lorem congue dapibus. Duis id quam eu arcu porta commodo vel at nunc. Nulla in venenatis lorem. Donec congue vehicula bibendum.

Vestibulum pulvinar lorem a velit bibendum porttitor sagittis nisl tempus. Cum sociis natoque penatibus et magnis dis parturient montes, nascetur ridiculus mus. Fusce ut mi sit amet metus ultrices feugiat ut nec lorem. Nunc felis lorem, consectetur ut eleifend et, vestibulum id purus. Praesent nec augue quis neque sodales commodo nec ac urna. Sed a nibh ac odio sodales pulvinar. Pellentesque ut odio orci. Nam dictum hendrerit felis at ullamcorper. Integer eget sapien libero, in congue tortor. Nullam blandit vestibulum aliquet. Nullam vulputate sapien quis nisl molestie vulputate. Aliquam elementum eros quis ante ultrices ultricies. Cum sociis natoque penatibus et magnis dis parturient montes, nascetur ridiculus mus. Donec porttitor sodales aliquam. Ut sit amet risus justo. Integer eu iaculis orci.

Sed lectus tellus, porttitor in viverra sed, viverra nec nunc. Vestibulum ante ipsum primis in faucibus orci luctus et ultrices posuere cubilia Curae; Fusce gravida eleifend nisi, sit amet pulvinar ligula gravida id. Vivamus est massa, viverra sit

Apéndice A. Algo que agregar

amet ornare non, consectetur sit amet elit. Nam sapien lectus, pharetra sit amet imperdiet ultrices, iaculis eget enim. Curabitur in felis et lectus malesuada pellentesque vestibulum ac dolor. Vivamus quis nulla tortor. Sed adipiscing fringilla leo, sit amet sodales felis volutpat id. Proin vitae arcu libero. Suspendisse sit amet est tellus. Aliquam sit amet metus ut arcu placerat feugiat. Nulla eget magna id odio facilisis blandit. Nam porta ultricies est, sed bibendum mauris volutpat ac. Lorem ipsum dolor sit amet, consectetur adipiscing elit. Maecenas vel lorem lorem. Donec et purus a tellus lacinia fringilla a non lectus.

Sed pretium porttitor fermentum. Vivamus semper lobortis dictum. In interdum, libero id iaculis laoreet, sapien diam tristique lorem, sit amet aliquam sapien sem ac tortor. Phasellus tincidunt tempor condimentum. Aenean luctus, erat non fermentum rhoncus, quam odio gravida massa, sed scelerisque tellus elit ut massa. Suspendisse vel posuere ipsum. Vestibulum dolor leo, ornare quis faucibus non, consequat ut purus. Maecenas at massa turpis, vitae pretium metus. Mauris mollis dolor turpis, semper dignissim tellus. Sed vel ligula eu turpis accumsan vehicula id in nisl. Pellentesque sit amet mi lorem. Suspendisse potenti. Proin bibendum luctus accumsan. Mauris urna elit, lacinia sit amet adipiscing feugiat, vestibulum sed mauris.

Referencias

- [1] ARIB. Association of radio industries and businesses, 1995. [Web; accedido el 06-11-2018].
- [2] Robert W Chang. Synthesis of band-limited orthogonal signals for multichannel data transmission. *Agregar Luego*, 1966.
- [3] Instituto Nacional de Estadística. *Encuesta Continua de Hogares*, 2017.
- [4] P. Flores-Guridi and F. Larroca. The isdb-t multiplex frame pattern explained. In *2017 IEEE URUCON*, pages 1–4, Oct 2017.
- [5] G David Forney. Concatenated codes. 1965.
- [6] Todd K Moon. Error correction coding. *Mathematical Methods and Algorithms*. Jhon Wiley and Son, 2005.
- [7] MPEG. Moving picture experts group, 1995. [Web; accedido el 06-11-2018].
- [8] Federico Larroca Pablo Flores. *Encuesta Continua de Hogares*, 2017.
- [9] Ettus Research. The usrpTM hardware driver repository, 2018. [Web; accedido el 24-11-2018].
- [10] Weinstein and Edbert. Data transmission by frequency-division multiplexing using the discrete fourier transform. *Agregar Luego*, 1971.

Esta página ha sido intencionalmente dejada en blanco.

Índice de tablas

3.1. Parámetros relevantes en el estándar ISDB-T.	15
---	----

Esta página ha sido intencionalmente dejada en blanco.

Índice de figuras

1.1. Distribución de las estaciones transmisoras de TV digital en el Uruguay.	2
2.1. Esquema básico de codificación de canal.	7
3.1. Distribución espectral de los segmentos OFDM. A la derecha puede apreciarse la presencia del piloto continuo.	13
3.2. Diagrama de bloques del transmisor ISDB-T definido por la ARIB.	15
4.1. Arquitectura general de un equipo USRP	21
4.2. Bloque sink al equipo USRP	23

Esta es la última página.
Compilado el sábado 29 septiembre, 2018.
<http://iie.fing.edu.uy/>